含与不含朱砂的万氏牛黄清心丸对高热惊厥大鼠模型的影响

陈斌1,李飞艳1,李福元1,陈北阳2

- 1. 湖南中医药高等专科学校,湖南 株洲 412012
- 2. 湖南中医药大学,湖南 长沙 410007

摘 要:目的 比较含与不含朱砂的万氏牛黄清心丸的抗惊厥作用。方法 制备大鼠高热惊厥模型,记录模型大鼠给予万氏牛黄清心丸(1号方)、去除朱砂的万氏牛黄清心丸(2号方)、酸枣仁替代朱砂的万氏牛黄清心丸(3号方)后的惊厥潜伏期;取大鼠海马切片,HE染色和尼氏染色,观察海马 CA1、CA2、CA3 区神经元形态并海马神经元计数;以安宫牛黄丸作为阳性对照。结果 随着惊厥诱导次数的增加,各组动物惊厥潜伏期均延长,与模型组比较,各给药组不同程度地延长惊厥潜伏期;与1号方比较,2号方及3号方各剂量组大鼠惊厥潜伏期均无明显差异;模型大鼠海马各区神经元形态发生明显的病理改变,1号方能明显增加模型大鼠海马神经元数目,与模型组比较差异非常显著;2号方和3号方对海马神经元的影响与1号方无明显差异。结论 1号方、2号方和3号方均有明显的抗惊厥作用,三者作用无明显差异。

关键词: 万氏牛黄清心丸; 朱砂; 酸枣仁; 抗惊厥; 神经元

中图分类号: R282.5; R971.6 文献标志码: A 文章编号: 0253 - 2670(2011)12 - 2502 - 05

Effects of Wanshi Niuhuang Qingxin Pill containing cinnabar or not on convulsive of rats with hyperpyrexia

CHEN Bin¹, LI Fei-yan¹, LI Fu-yuan¹, CHEN bei-yang²

- 1. Hunan Traditional Chinese Medical College, Zhuzhou 412012, China
- 2. Hunan University of Chinese Medicine, Changsha 410007, China

Key words: Wanshi Niuhuang Qingxin Pill; cinnabar; semen; anticonvulsion; neurons

万氏牛黄清心丸为经典中药复方,由牛黄、朱 砂、黄连、栀子、郁金、黄芩 6 味中药组成,具 有清热解毒、镇惊安神之功效,主要用于热入心 包、热盛动风证, 症见邪热内闭、烦躁不安、神 昏谵语、小儿高热惊厥[1]。方中朱砂主要成分为 HgS, 对人体毒性较大, 有关朱砂或含朱砂的中成 药的不良反应日益引起人们的重视, 相关研究已 有报道[2-7]。此外,由于国内外对中药中重金属限 量的要求[8], 使万氏牛黄清心丸的临床应用及出口 受到一定限制。抗惊厥是中药镇惊安神的现代药 理基础, 本实验比较研究了万氏牛黄清心丸及用 酸枣仁替代朱砂的万氏牛黄清心丸和去除朱砂的 万氏牛黄清心丸对高热惊厥模型大鼠惊厥潜伏 期、脑海马 CA1、CA2、CA3 区神经元的影响, 为万氏牛黄清心丸中的朱砂是否可以舍弃或用酸 枣仁替代提供科学依据。

1 材料

1.1 药品与试剂

万氏牛黄清心丸(1号方)按《中国药典》方法^[1]自制:牛黄(体外培育牛黄)10g、朱砂 60g、黄莲 200g、黄芩 120g、栀子 120g、郁金 80g,朱砂水飞成极细粉,牛黄研细,余下的黄连等 4味中药粉碎成细粉,与上述粉末配研过筛,混匀,每 100g 粉末加炼蜜 70g,得到每 1.70g 相当于生药 1g的 1号方。自制去除朱砂的万氏牛黄清心丸(2号方):药粉与蜂蜜比例为 100:90,除不加朱砂外,其余组分与制法同 1号方,得到每 1.90g 相当于生药 1g的 2号方。自制酸枣仁替代朱砂的万氏牛黄清心丸(3号方):将方中朱砂以酸枣仁 200g 替代,药粉与所加蜂蜜比例为 100:88,其他组分与制法同 1号方,得到每 1.88g 相当于生药 1g的 3号方。安宫牛黄丸,哈药集团世一堂制药厂,批号 0902131,

收稿日期: 2011-07-18

基金项目:湖南省卫生厅中医药科研基金项目(06301)

作者简介: 陈 斌, 男, 副教授, 主要从事中药药理和中药化学成分研究和教学。Tel: (0731)28519074 E-mail: cb-6311@163.com

每丸3g。多聚甲醛,天津市化学试剂研究所; 苏木素-伊红(HE)染色液、尼氏染色液均由湖南中医药大学显微形态实验室提供。

1.2 动物

雄性 SD 大鼠,体质量 60~90 g, SPF 级,湖 南斯莱克景达实验动物有限公司提供,合格证号 004476。

1.3 仪器

SJH—8S 数显恒温水浴锅,宁波天恒仪器厂; 江南双目光学显微镜,江南光学仪器厂; LKB—VI 型超薄切片机,瑞典 LKB 公司; DM—LB2 莱卡生 物摄影显微镜,德国。

2 方法

2.1 大鼠惊厥模型的制备

采用热水浴诱导幼年 SD 大鼠高热惊厥模型^[9-11]: 将大鼠置于 44.5~45 ℃水浴缸中,水深以大鼠沿缸壁站立时仅露出头部为度,5 min 内发生惊厥即取出,惊厥判断标准以前肢阵挛抽搐为准,隔日诱导惊厥 1 次,共诱导 10 次。

2.2 对大鼠惊厥潜伏期的影响

造模后,选出在 5 min 内惊厥反应较明显的大鼠 70 只,随机分为 7 组 (每组 10 只),分别为安宫牛黄丸 (0.14 g/kg)组、1 号方 (0.69 g/kg)组、2 号方低和高剂量 (0.77、2.31 g/kg)组、3 号方低和高剂量 (0.76、2.28 g/kg)组、模型组。其余动物为对照组。对照组及模型组 ig 给予蒸馏水,各药物组于每次诱导高热惊厥模型前 1 h, ig 给予相应药物。2、3 号方低剂量的确定以所含生药量与1号方相同为依据,高剂量为低剂量的 3 倍,ig 体积均为0.01 mL/g。分别记录每次动物置于热水浴以及发

现前肢阵挛的时刻,以两时刻的差值为大鼠惊厥潜伏期。

2.3 对大鼠海马神经元的影响

动物分组及给药同"2.2"项。将高热诱导惊厥 10 次后的大鼠与对照组大鼠脱颈处死,剪下头部,快速分离大脑并放入备有 10%多聚甲醛的容器中固定,修整后经梯度乙醇脱水,二甲苯透明,浸蜡,石蜡包埋,矢状切片,厚度 5 μm,烤片后用 HE 染色。进行尼氏体染色,脱蜡,蒸馏水洗,预热,1%甲苯胺蓝染色,得到大脑海马神经元的切片,分别对海马神经元 CA1 区、CA2 区及 CA3 区摄像,观察神经元形态、尼氏体的变化,对相同区域同样大小视野中正常神经元(形态正常、尼氏体无丢失)及总神经元计数,计算正常神经元百分率。

2.4 数据处理

数据采用 $\bar{x} \pm s$ 表示,组间数据的比较采用t检验。

3 结果

3.1 对大鼠惊厥潜伏期的影响

10 次高热诱导惊厥后,各组动物的惊厥潜伏期逐渐延长。2 号方低剂量组的惊厥潜伏期比其高剂量组短,3 号方低剂量组潜伏期在第 4 次诱导惊厥后长于其高剂量组。安宫牛黄丸在第 6 次与第 7 次诱导惊厥后潜伏期明显延长,与模型组比较有显著差异(P<0.05、0.01),在前 8 次诱导惊厥后的潜伏期明显长于其他各给药组。1 号方在第 6 次诱导惊厥后潜伏期明显延长,与模型组比较有显著差异(P<0.05)。3 号方低剂量组在第 9 次诱导惊厥后潜伏期明显延长,与模型组比较有显著差异(P<0.05)。与1 号方组比较,各药物组大鼠惊厥潜伏期均无显著差异。结果见表 1。

表 1 万氏牛黄清心丸对高热惊厥模型大鼠惊厥潜伏期的影响 $(\bar{x} \pm s, n = 10)$

Table 1 Effects of Wanshi Niuhuang Qingxin Pill on convulsive latent time of rats with hyperpyexia convulsion ($\bar{x} \pm s$, n = 10)

组别	剂量/	惊厥潜伏期/s									
	$(g{\cdot}kg^{-1})$	第1次	第2次	第3次	第4次	第 5 次	第6次	第7次	第8次	第9次	第 10 次
模型	_	200 ± 41	206 ± 32	212 ± 41	223 ± 23	227 ± 41	217 ± 34	218 ± 43	229 ± 32	238 ± 22	248 ± 45
1号方	0.69	195 ± 37	197 ± 30	216 ± 49	$218\!\pm\!33$	$237\!\pm\!39$	$249 \pm 31^*$	235 ± 38	241 ± 44	245 ± 38	259 ± 31
2 号方	0.77	194 ± 47	201 ± 46	206 ± 46	220 ± 48	$229\!\pm\!30$	$231\!\pm\!41$	$232\!\pm\!45$	234 ± 46	239 ± 42	251 ± 43
	2.31	203 ± 47	209 ± 36	222 ± 39	225 ± 40	238 ± 21	240 ± 38	246 ± 37	247 ± 42	254 ± 39	264 ± 46
3 号方	0.76	196 ± 46	202 ± 29	217 ± 46	227 ± 40	$236\!\pm\!37$	242 ± 49	246 ± 46	256 ± 30	$276 \pm 35^*$	274 ± 38
	2.28	203 ± 46	211 ± 48	218 ± 35	229 ± 30	$231\!\pm\!35$	238 ± 42	243 ± 44	248 ± 45	260 ± 33	273 ± 42
安宫牛黄丸	0.14	$225\!\pm\!43$	229 ± 48	223 ± 44	234 ± 37	241 ± 40	$261\pm20^{**}$	$266 \pm 39^*$	256 ± 38	261 ± 47	267 ± 46

与模型组比较: *P<0.05 **P<0.01

^{*}P<0.05 **P<0.01 vs model group

3.2 对海马神经元的影响

3.2.1 尼氏染色海马神经元计数 对照组海马各区神经元 80%以上形态正常,尼氏体无丢失。模型组大鼠神经元出现明显病变,尼氏体严重丢失,与对照组比较差异非常显著 (P<0.01)。与模型组比较,安宫牛黄丸与 1号方组大鼠海马各区受损神经元明显减少,CA1 区神经元明显减少,其余各区无明显差异; 2、3号方各组 CA1、CA2 区各区海马神经元损伤不同程度地降低,除 2号方低剂量组 CA2区、3号方高剂量组大鼠 CA1区无明显差异外,其余与模型组比较差异显著 (P<0.05、0.01),CA3区神经元无明显变化。结果见表 2。

3.2.2 HE 染色结果 对照组 CA1 区细胞排列紧密、整齐、极向好、染色均匀,细胞核位于中央、大小一致,细胞长椭圆形; CA2 区细胞较大,排列较疏松,细胞核位于中央、大小一致; CA3 区细胞大,大多为锥体状,排列较疏松。模型组 CA1 区细胞排列紊乱,部分细胞可见细胞核,部分细胞溶解而只见细胞轮廓; CA2 区细胞大部分溶解,细胞核固缩; CA3 区细胞大部分溶解。与对照组比较,模型组大鼠海马各区神经元形态发生明显改变。1、2、3 号

方各给药组大鼠 CA1 区细胞排列紧密、染色较均匀,细胞椭圆形; CA2 区细胞较大,细胞核位于中央; CA3 区细胞相对较大,多为锥体状,排列疏松,表明这 3 个复方可抗神经元损伤,进而起到抗惊厥作用。结果见图 1。

3.2.3 尼氏染色结果 对照组 CA1 区神经元排列 紧密、极向好,细胞大小一致、长椭圆形,大部分 神经元中尼氏体完好; CA2 区神经元较大、排列较 紧密、略呈锥体状,核仁位于中央,大部分尼氏体 完好; CA3 区神经元排列较疏松、较大,明显锥体 状,尼氏体完好。模型组 CA1 区细胞排列紧密、极 向不清,尼氏体溶解消失; CA2 区细胞排列紧密、 极向不清,细胞核固缩,部分细胞溶解; CA3 区细 胞核固缩,大部分溶解消失,可见鬼影细胞。与对 照组比较,模型组神经元尼氏体丢失,形态明显改 变甚至发生细胞溶解。1、2、3 号方各给药组大鼠 海马各区神经元数显著增加,表明其可抗神经元损 伤,进而起到抗惊厥作用。结果见图 1。

与1号方比较,除2号方和3号方低剂量组大 鼠海马CA2区神经元损伤明显增加外,其余均无明 显影响。

表 2 万氏牛黄清心丸对高热惊厥模型大鼠海马 CA1、CA2、CA3 区神经元的影响($\bar{x}\pm s,\ n=10$)
Table 2 Effect of Wanshi Niuhuang Qingxin Pill on normal hippocampus neurons CA1, CA2, and CA3 regions of rats with hyperpyrexia convulsion ($\bar{x}\pm s,\ n=10$)

	71 17	, ,		
组别	剂量/ (g·kg ⁻¹)	CA1 ⊠/%	CA2 ⊠/%	CA3 ⊠/%
对照	_	85.8 ± 2.3	80.4 ± 4.5	80.6 ± 7.8
模型	_	$69.3 \pm 7.9^{**}$	$65.2 \pm 8.7^{**}$	$66.2 \pm 6.0^{\star}$
1 号方	0.69	78.0±6.7**▲▲	79.2±5.2 ^{▲▲}	76.7±5.7 ^{▲▲}
2 号方	0.77	$77.6 \pm 8.6^{**}$	$72.6 \pm 7.4^{*}$	75.9±4.1 ^{**}
	2.31	75.8±4.7**▲	$74.7 \pm 4.9^{* \blacktriangle \blacktriangle}$	74.0±5.9 [▲]
3 号方	0.76	$77.6 \pm 5.4^{**}$	$73.7 \pm 3.5^{**}$	$73.9 \pm 6.3^{* \blacktriangle}$
	2.28	$74.5 \pm 4.8^{**}$	74.9±4.9*▲▲	75.4±3.2 ^{▲▲}
安宫牛黄丸	0.14	81.2±5.9*▲▲	81.8±5.6 ^{▲▲}	77.7±7.9 ^{▲▲}

与对照组比较: *P <0.05 $^{**}P$ <0.01;与模型组比较: $^{\Delta}P$ <0.05 $^{*\Delta}P$ <0.01;与 1 号方组比较: $^{\Delta}P$ <0.05 *P <0.05 *P <0.01 vs control group; $^{\Delta}P$ <0.05 $^{*\Delta}P$ <0.01 vs model group; $^{\Delta}P$ <0.05 vs No.1 formula group

4 讨论

惊厥发作是由于中枢神经系统某些神经细胞群发生的突然的、过度的、同步的异常放电而引起的神经功能异常的表现,是某种脑部损伤或代谢障碍的症状,具有多种诱因,包括儿童期急性感染、高热、佝偻病等。本实验参考文献方法^[9-10]制备幼年大鼠高热惊厥模型,HE 染色结果显示,模型组大鼠海马各区神经元细胞排列紊乱、核固缩,细胞溶

解;尼氏染色结果显示,模型组大鼠海马大部分细胞尼氏体溶解消失、核固缩,甚至溶解消失,结果与文献报道^[9]基本吻合。由此推断,高热惊厥大鼠模型制备成功。

高热诱导惊厥过程中,各组大鼠惊厥潜伏期逐渐延长,分析原因可能与大鼠机体对外界刺激有一定的适应性,因模型制备周期较长,随着动物的生长发育神经系统发育日趋完善有关。具体原因还有

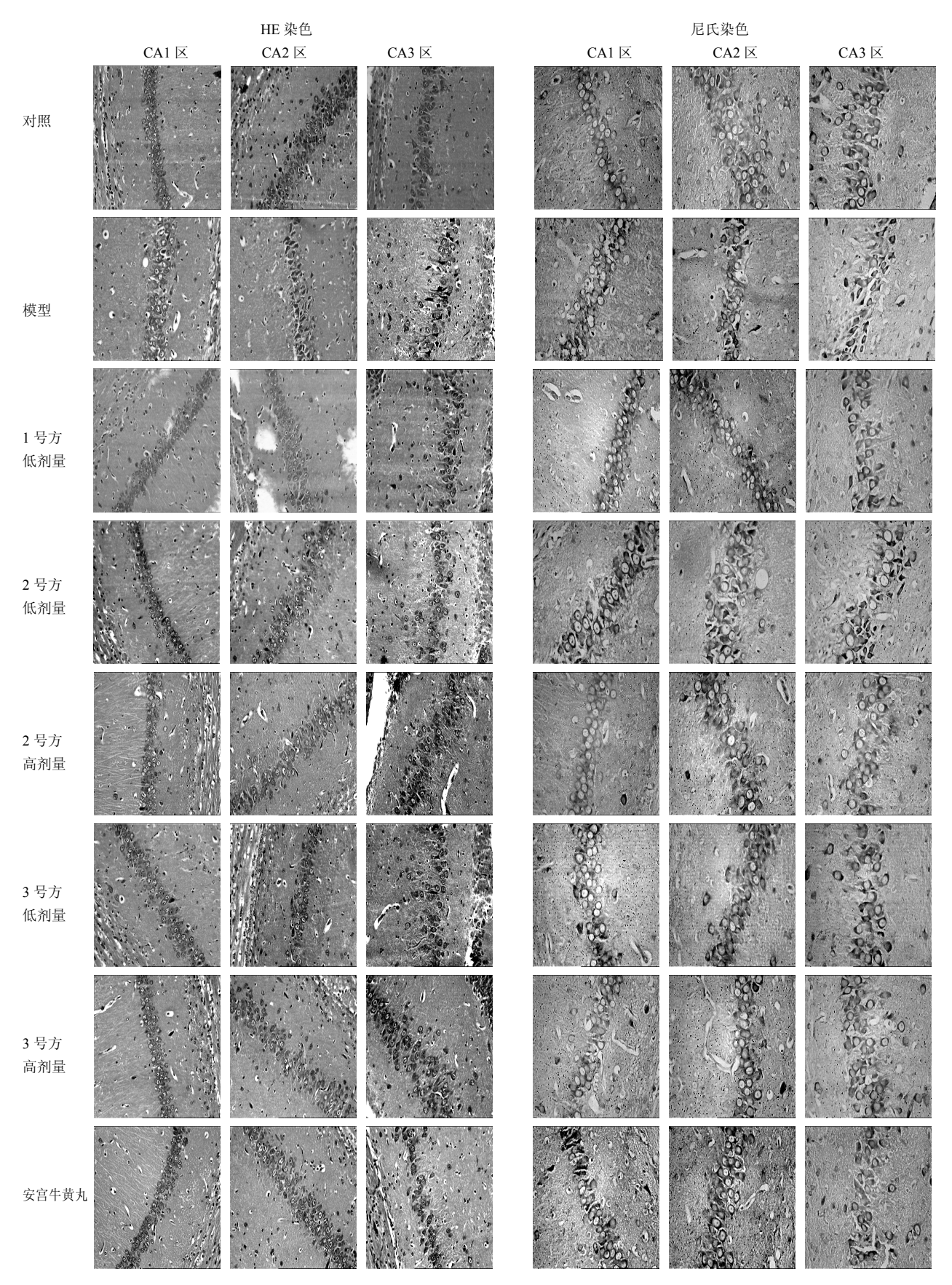


图 1 大鼠海马神经元病理学观察

Fig. 1 Hippocampus neurons pathologic image in rats

待进一步研究,在已有研究及文献中尚未发现相关 报道。

由尼氏染色结果可知,与对照组比较,高热惊 厥模型大鼠海马 CA3 区神经元尼氏体丢失非常严 重, CA2 区其次, 而 CA1 区神经元基本未受影响。 安宫牛黄丸作为清热解毒、镇惊开窍之经典方药, 对高热惊厥具有显著疗效。万氏牛黄清心丸亦为经 典方药, 具有清热解毒、镇惊安神之功效, 用于邪 热内闭、烦躁不安、神昏谵语、小儿高热惊厥的治 疗[1]。给药后海马各区神经元数显著增加,表明该 药可抗神经元损伤,从而起到抗惊厥作用,与其传 统功效相一致。万氏牛黄清心丸去除朱砂或用酸枣 仁替代朱砂的制剂也具有不同程度的抗神经元损伤 作用,尤其是去朱砂的2号方高剂量组与酸枣仁代 朱砂 3 号方的低剂量组对模型大鼠海马 CA1、CA2、 CA3 区神经元损伤均有明显的对抗作用,表明其同 样具有抗惊厥作用,且与万氏牛黄清心丸比较无明 显差异。因此根据本实验结果并综合文献报道[12], 可初步推断朱砂并非为万氏牛黄清心丸抗惊厥作用 的主要药效物质,可以从方中去除或用酸枣仁替代, 但其具体关系及机制尚需深入研究。

梅女条参

[1] 中国药典 [S]. 一部. 2010.

- [2] 任 颖, 韩贞琳, 胡英华, 等. 朱砂致汞毒性皮炎 3 例 报告 [J]. 中国工业医学杂志, 2005, 18(6): 345-346.
- [3] 金伟军,周阳海,张志东. 含朱砂中药成方制剂安全性问题的探讨[J]. 今日药学,2008,18(3):56-58.
- [4] 余立友,徐 喆,胡望生,等.朱砂的毒性和配伍及其应注意的问题 [J].传统医药,2007,16(4):58-59.
- [5] 梁爱华,徐严菊,商敏凤.朱砂的不良反应分析 [J]. 中国中药杂志,2005,30(23):1809-1811.
- [6] 康 峰,张俊青,吴 琴,等.朱砂及其复方与甲基汞、氯化汞的体外细胞毒性对比研究 [J].贵阳中医学院学报,2010,32(2):19-22.
- [7] 尹利辉, 王 瑾. 药品中汞的分析进展 [J]. 药物分析 杂志, 2005, 25(4): 480-483.
- [8] 范桂高,南 方. 新加坡中药管理评述 [J]. 国外医学: 卫生经济分册, 2007, 24(2): 86-96.
- [9] 常杏芝,秦 炯,吴希如. 幼年大鼠反复热性惊厥脑损伤的研究 [J]. 中国当代儿科杂志, 2002, 4(6): 439-442.
- [10] 杨志仙,秦 炯,周国平,等.发育期大鼠高热惊厥脑 损伤模型的建立 [J].北京大学学报:医学版,2002,24(3):225-228.
- [11] 李仪奎. 中药药理实验方法学 [M]. 上海: 上海科学技术出版社, 1991.
- [12] 张 梅, 夏厚林, 万 丽, 等. 万氏牛黄清心丸中汞的 不同存在状态与药效的关系 [J]. 成都中医药大学学 报, 2001, 24(4): 51-52.